

## РЕЦЕПТУРА, ТЕХНОЛОГИЯ И СВОЙСТВА КРЕМНЕПОРА

Сланевский С.И. (Одесская государственная академия строительства и архитектуры, г. Одесса).

Исследованы рецептура, технология и свойства кремнепора, полученного на основе трепела Первозвановского месторождения. Определено минимальное содержание стабилизатора структуры, достаточное для синхронизированного протекания процессов вспучивания и твердения. Получен кремнепор мелкопористой структуры с низкой средней плотностью и равномерным характером распределения пор.

В Одесской государственной академии строительства и архитектуры разработаны строительные материалы ячеистой структуры на основе природного и техногенного кремнезёма в виде теплоизоляционного и конструктивно-теплоизоляционного материала, называемого кремнепором, и лёгкого заполнителя, называемого кремнезитом.

В качестве природного кремнезёма используются горные породы нестабильной полиморфной структуры, обладающие значительным резервом кинетической энергии, с содержанием активного  $\text{SiO}_2$  выше 70 %. Из них можно выделить группу аморфизованного кремнезёма: трепелы, опоки, диатомиты, туфы, трассы, стекловидные породы — базальты, обсидианы, перлиты и пр.

В качестве техногенных кремнезёмистых материалов могут быть использованы: силикатглыба, используемая как полуфабрикат при производстве жидкого стекла, а также высококремнезёмистое щелочное стекло (ВКЩС) и тридимито-кристобалитовое вяжущее (ТК вяжущее), использовавшиеся ранее на территории СССР в 70-тых и 80-тых годах прошлого столетия при производстве кремнебетона для газоотводящих стволов дымовых труб тепловых электростанций.

Кроме кремнезёмистых материалов в кремнепоре и кремнезите используются также щелочесодержащие добавки, например в виде каустической соды ( $\text{NaOH}$ ), и стабилизатор структуры в виде минеральной добавки (Д) и вода (В).

В проведенных исследованиях в качестве активного кремнезёма (АК) использовали трепел Первозвановского месторождения (Кировоградская область) с естественной равновесной влажностью, который измельчали до предельной крупности зёрен 1,25 мм.

Для обеспечения высокой однородности кремнепоровой смеси её приготовление производили в следующей последовательности. Вначале растворяли каустическую соду в воде, к полученному раствору добавляли стабилизатор структуры, а затем – трепел. После добавления каждого из компонентов смесь перемешивали.

Расчёт составов кремнебетона производили по методу абсолютных объёмов для чего были выведены специальные формулы.

В качестве исходной системы уравнений использовали следующие условия.

$$\left\{ \begin{array}{l} 1) \frac{NaOH}{AK + NaOH} = X1 \\ 2) \frac{B}{AK + D} = X2 \\ 3) \frac{D}{AK + D} = X3 \\ 4) \frac{AK}{\rho_{AK}} + \frac{NaOH}{\rho_{NaOH}} + \frac{D}{\rho_D} + B = 1000 \end{array} \right.$$

Первые три условия сформулированы по результатам предшествующих работ и представляют собой факторы, оказывающие наиболее существенное влияние на свойства кремнепора. Четвертое условие – это сумма абсолютных объёмов всех составляющих кремнепоровой смеси, равная 1000 л (1 м<sup>3</sup>).

При выводе расчетных формул из первого уравнения определяли содержание АК:

$$AK = NaOH \left( \frac{1}{X1} - 1 \right) \quad (1)$$

Из третьего уравнения определяли содержание добавки:

$$D = \frac{NaOH \left( \frac{1}{X1} - 1 \right) X3}{(1 - X3)} \quad (2)$$

Из второго уравнения определяли содержание воды:

$$B = \left( \text{NaOH} \left( \frac{1}{X1} - 1 \right) + \frac{\text{NaOH} \left( \frac{1}{X1} - 1 \right) \cdot X3}{(1 - X3)} \right) \cdot X2 \quad (3).$$

Из четвертого уравнения определяли содержание каустической соды (NaOH):

$$\text{NaOH} = \frac{1000}{\frac{\left( \frac{1}{X1} - 1 \right)}{\rho_{AK}} + \frac{1}{\rho_{\text{NaOH}}} + \frac{\left( \frac{1}{X1} - 1 \right) \cdot X3}{\rho_{\text{д}} \cdot (1 - X3)} + \left( \frac{1}{X1} - 1 \right) \cdot X2 + \frac{\left( \frac{1}{X1} - 1 \right) \cdot X3 \cdot X2}{(1 - X3)}} \quad (4).$$

Приготовленную смесь помещали в заранее приготовленные формы и при необходимости уплотняли легким штыкованием. Для устройства антиадгезийного покрытия использовали плотную бумагу (ватман или крафтбумагу), которую наклеивали на внутренние поверхности форм, используя мыльный раствор в соотношении 1:40. Для предотвращения коробления бумаги её предварительно замачивали в воде.

В исследованиях использовали образцы-кубики с ребром 7 см. Для интенсификации взаимодействия щелочи с активным кремнеземом и перехода сырьевой смеси в пиропластическую массу, отформованные образцы помещали в сушильный шкаф, предварительно разогретый до 150°C, с последующим поднятием температуры до 250°C для вспучивания.

Разогретая пиропластическая кремнепоровая масса обладает достаточной вязкостью, чтобы образовавшиеся при вспучивании паровые пузырьки не всплывали на поверхность и вместе с тем преодолевали критическое сопротивление сдвига массы, т.е. критическое сопротивление вспучивания.

Режим термообработки был следующим: 2 ч — подъём температуры с 150 до 250°C; 2 ч — изотермическая выдержка; 4 ч — остывание до температуры, превышающей температуру окружающей среды на 40°C.

После окончания тепловой обработки образцы подвергали испытаниям преимущественно по стандартным методикам, определяя среднюю плотность, прочность при сжатии, коэффициент теплопроводности, общую и дифференциальную пористость, коэффициент конструктивного качества, водопоглощение, коэффициент размягчения, коэффициент вспучивания и истинный (с учетом коэффициента вспучивания) состав кремнепора.

Учитывая, что после вспучивания на образце кремнепора образуется «горбуша», объем образца при определении средней плотности определялся по объему вытесненного песка в виброуплотнённом состоянии, используя специальную методику.

Вначале, используя стандартную лабораторную виброплощадку и мерный 2-литровый металлический сосуд, определяли плотность песка в виброуплотненном состоянии по формуле:

$$\rho_{vy} = \frac{m_{vy}}{V_c},$$

где  $m_{vy}$  – масса виброуплотнённого песка, которая определяется как разность между массой сосуда с песком и массой самого сосуда по формуле

$$m_{vy} = m_{cn} - m_c,$$

$m_c$  – масса сосуда;

$m_{cn}$  – масса сосуда с песком;

$V_c$  – объем сосуда.

После определения плотности песка, образец помещали в вертикальном положении на дно 2-литрового металлического сосуда, засыпали песком, вибрировали в течение 2 мин, линейкой срезали избыток песка и взвешивали. Объем вытесненного песка  $V_{не}$ , равный объёму образца, определяли по формуле:

$$V_{не} = \frac{m_{не}}{\rho_{vy}},$$

где  $m_{не}$  – масса песка, вытесненного образцом, г

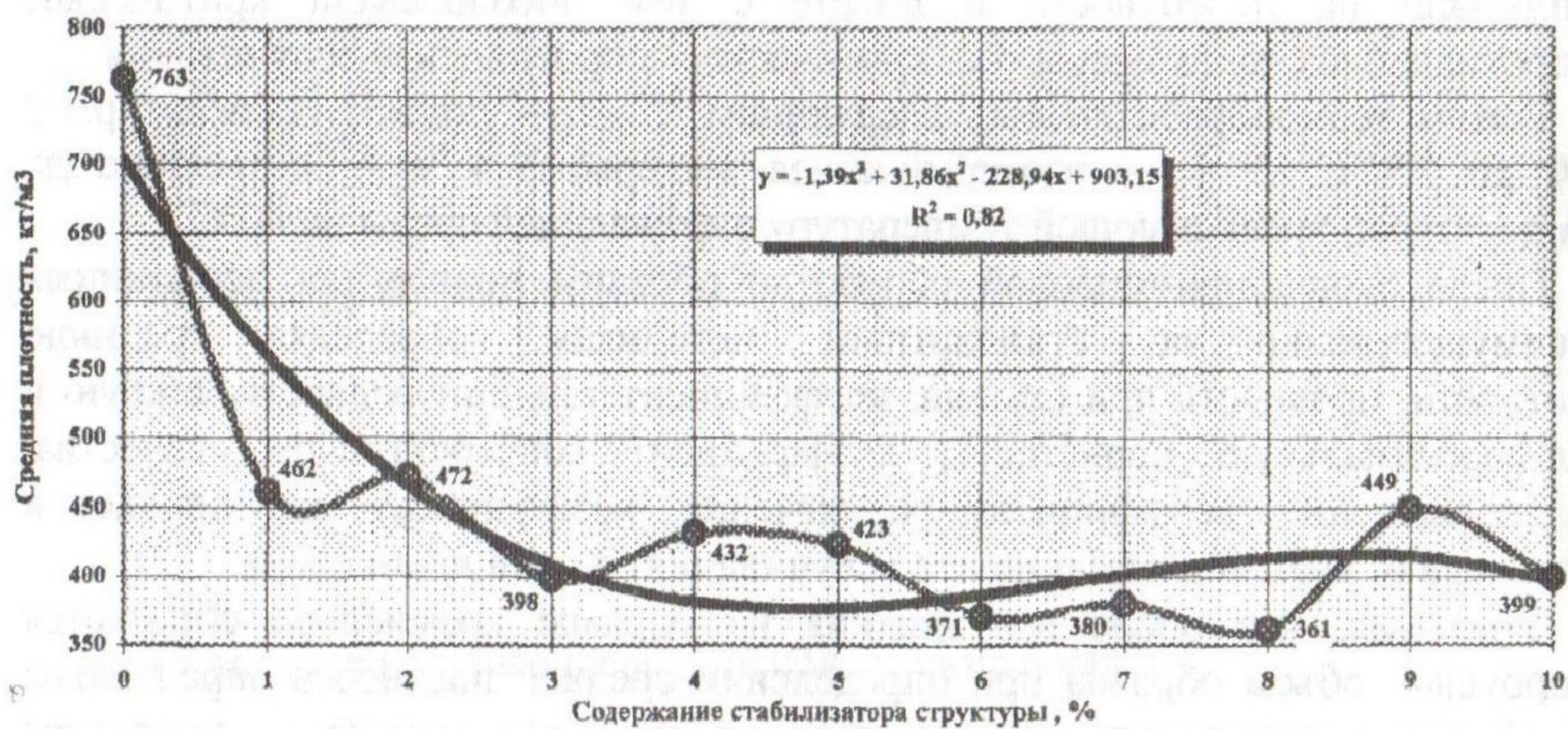


Рис. 1. Зависимость средней плотности кремнепорога от содержания добавки стабилизатора структуры

$$m_{пв} = m_{пзсо} - m_{вз};$$

$m_{пзсо}$  - масса песка, засыпанного в сосуд с образцом, г

$$m_{пзсо} = m_{сно} - m_c - m_o;$$

$m_{сно}$  - масса сосуда с песком и образцом, г;

$m_o$  - масса образца, г.

Зная массу и объем образца, определяли среднюю плотность кремнепора по формуле:

$$\rho_{кп} = \frac{m_o}{V_{пв}}.$$

В исследованиях в большинстве случаев использовали математический метод планирования экспериментов. По результатам экспериментов, используя специальную компьютерную программу, строили математические модели исследуемых свойств. Определяли также дисперсии коэффициентов математической модели и их ошибки. Все расчёты, связанные с построением математических моделей и графических зависимостей, выполняли на компьютере типа "Pentium-4" по соответствующим программам.

Для определения уровней варьирования факторов был реализован предварительный эксперимент, в котором исследовалось влияние стабилизатора структуры на среднюю плотность и характер пористости кремнепора. При этом содержание добавки стабилизатора структуры изменялось в интервале от 0 до 10 % с шагом 1 %. Содержание каустической соды на первом этапе не варьировалось, было принято постоянным и составляло NaOH=30 %; В/Т изменялось от 0,52 до 0,76, обеспечивая одинаковую вязкость смеси во всех опытах. Исследования проводилось на образцах-кубиках с размером ребра 7 см.

При неизвестном коэффициенте вспучивания объём замеса кремнепоровой смеси был выбран с таким расчётом, чтобы при максимальном коэффициенте вспучивания пиропластическая кремнепоровая масса в период термообработки не переливалась за борта формы и, в расчёте на один образец, составлял 0,2 л.

Исходные расходы составляющих кремнепоровой смеси и истинный состав кремнепора, учитывающий коэффициент вспучивания, а также средняя плотность кремнепора приведены в таблице 1.

Таблица 1.

Расходы компонентов сырьевой смеси и средняя плотность кремнепора в предварительном эксперименте

| Содержание СС, % | Параметры состава |          |               | Исходный состав кремнепоровой смеси, г/0,2 л |            |      |      | Истинный состав кремнепоровой смеси, кг/м <sup>3</sup> |            |      |      | Средняя плотность, кг/м <sup>3</sup> |
|------------------|-------------------|----------|---------------|--|------------|------|------|--|------------|------|------|--------------------------------------|
|                  | NaOH, %           | В/Т      | Добавка СС, % | Трепел                                       | Добавка СС | NaOH | Вода | Трепел   | Добавка СС | NaOH | Вода |                                      |
| 0                | 30                | 0,7<br>1 | 0             | 173  | 0          | 74   | 123  | 534  | 0          | 229  | 380  | 763                                  |
| 1                | 30                | 0,6<br>1 | 1             | 172  | 2          | 74   | 107  | 320  | 4          | 138  | 199  | 462                                  |
| 2                | 30                | 0,7<br>6 | 2             | 170  | 3          | 73   | 132  | 326  | 6          | 140  | 253  | 472                                  |
| 3                | 30                | 0,6<br>9 | 3             | 169  | 5          | 72   | 120  | 273  | 8          | 116  | 194  | 398                                  |
| 4                | 30                | 0,6<br>9 | 4             | 168  | 7          | 72   | 120  | 294  | 12         | 126  | 210  | 432                                  |
| 5                | 30                | 0,6<br>8 | 5             | 166  | 9          | 71   | 119  | 285  | 15         | 122  | 205  | 423                                  |
| 6                | 30                | 0,6<br>8 | 6             | 165  | 11         | 71   | 119  | 248  | 17         | 107  | 179  | 371                                  |
| 7                | 30                | 0,6<br>7 | 7             | 164  | 12         | 70   | 119  | 253  | 19         | 108  | 184  | 380                                  |
| 8                | 30                | 0,6<br>5 | 8             | 162  | 14         | 70   | 115  | 238  | 21         | 103  | 169  | 361                                  |
| 9                | 30                | 0,5<br>2 | 9             | 161  | 16         | 69   | 92   | 294  | 29         | 126  | 168  | 449                                  |
| 10               | 30                | 0,5<br>2 | 10            | 159  | 18         | 68   | 92   | 259  | 29         | 111  | 150  | 399                                  |

По данным таблицы 1 в компьютерной программе «Microsoft Excel» построен график зависимости средней плотности от содержания добавки стабилизатора структуры (рис. 1).

Средняя плотность кремнепора в предварительном эксперименте изменяется в интервале от 361 до 763 кг/м<sup>3</sup>. Минимальная средняя плотность

наблюдается в кремнепоре с 8-процентным содержанием добавки, а максимальная – в кремнепоре без добавки.

Анализ построенных зависимостей, в частности, так называемой линии тренда, построенной по математической модели, в результате статистической обработки полученных результатов, свидетельствует о том, что с повышением содержания стабилизатора структуры от 0 до 10 % средняя плотность кремнепора понижается с 763 до 361 кг/м<sup>3</sup> (на 400 кг/м<sup>3</sup>).

Сравнивая истинную (волнообразную) зависимость и соответствующую ей линию тренда, обращает на себя внимание то, что степень воспроизводимости результатов в предварительном эксперименте относительно высокая. Так коэффициент аппроксимации, отражающий степень достоверности результатов эксперимента составляют  $R^2=0,82$ .

Для изучения характера пористости кремнепора полученные образцы разрезались в вертикальном положении, разрезанные половинки тщательно очищались от пылевидных обломков и сканировались.

Характер пористости кремнепора без добавки стабилизатора структуры и с содержанием добавки 2 % представлены на рис 2..

Структура кремнепора по характеру пористости зависит от содержания добавки. При содержании добавки от 0 до 1 %, вследствие десинхронизации процессов вспучивания и твердения, в верхней части образцов наблюдаются макропустоты. С повышением содержания добавки стабилизатора структуры от 2 до 10 % наблюдается мелкопористая структура с равномерным характером распределения пор.

Такое влияния стабилизатора структуры на характер пористости и среднюю плотность кремнепора можно объяснить тем, что реакция стабилизатора структуры с гидроксидом и гидросиликатом натрия, сопровождающаяся отвердеванием кремнепора, протекает синхронно с процессом вспучивания и не вызывает образования макропустот.

Исходя из анализа полученных результатов и априорной информации, в планированном эксперименте в качестве независимых переменных были приняты  $X_1$  – процентное содержание NaOH в смеси NaOH с трепелом;  $X_2$  – водогвердое отношение;  $X_3$  – процентное содержание добавки стабилизатора структуры в её смеси с трепелом.

Матрица планирования эксперимента с факторами их уровнями и интервалами варьирования, а также расходы составляющих кремнепоровой смеси представлены в таблице 2.

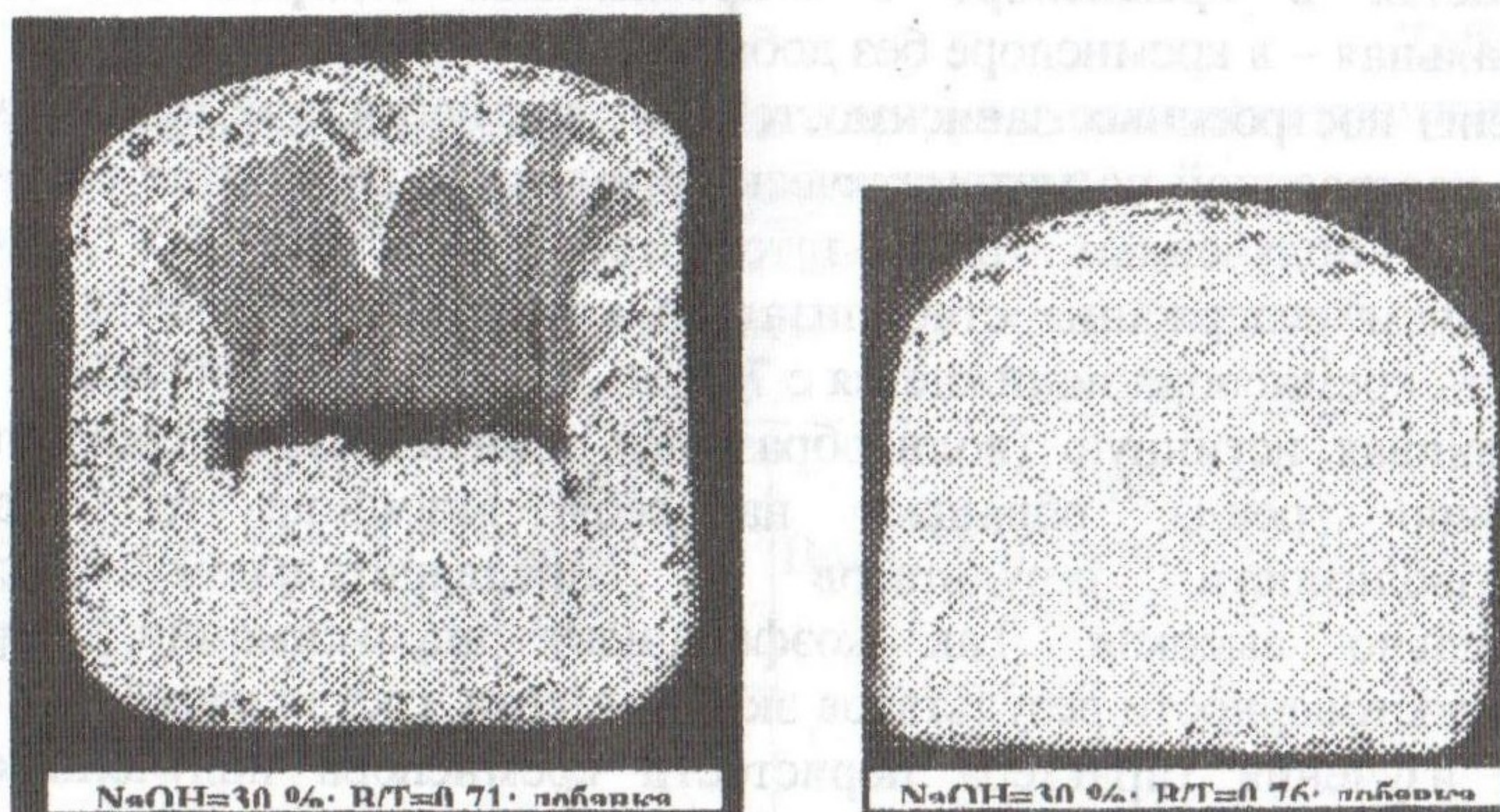


Рис. 2. Структура кремнепоро без содержания добавки стабилизатора структуры и с содержанием добавки 2 %.

Таблица 2.

Матрица планирования эксперимента и расходы составляющих кремнепоровой смеси

| № опытов | Факторы        |                |                | Параметры состава |      |            | Расходы составляющих, г/1,5 л |      |            |      | Расходы составляющих, кг/м <sup>3</sup> |      |            |      |
|----------|----------------|----------------|----------------|-------------------|------|------------|-------------------------------|------|------------|------|---|------|------------|------|
|          | X <sub>1</sub> | X <sub>2</sub> | X <sub>3</sub> | NaOH, %           | В/Т  | Добавка, % | Трепел                        | NaOH | Добавка СС | Вода | Трепел                                  | NaOH | Добавка СС | Вода |
| 1        | -              | -              | -              | 30                | 0,7  | 2          | 1105                          | 474  | 23         | 790  | 740                                     | 317  | 15         | 529  |
| 2        | +              | -              | -              | 34                | 0,7  | 2          | 1073                          | 553  | 22         | 767  | 718                                     | 370  | 15         | 513  |
| 3        | -              | +              | -              | 30                | 0,74 | 2          | 1073                          | 460  | 22         | 810  | 718                                     | 308  | 15         | 542  |
| 4        | +              | +              | -              | 34                | 0,74 | 2          | 1043                          | 537  | 21         | 787  | 698                                     | 360  | 14         | 527  |
| 5        | -              | -              | +              | 30                | 0,7  | 10         | 1031                          | 442  | 115        | 802  | 702                                     | 301  | 78         | 546  |
| 6        | +              | -              | +              | 34                | 0,7  | 10         | 1003                          | 517  | 111        | 780  | 683                                     | 352  | 76         | 531  |
| 7        | -              | +              | +              | 30                | 0,74 | 10         | 1001                          | 429  | 111        | 823  | 681                                     | 292  | 76         | 560  |
| 8        | +              | +              | +              | 34                | 0,74 | 10         | 974                           | 502  | 108        | 801  | 662                                     | 341  | 74         | 545  |
| 9        | -              | 0              | 0              | 30                | 0,72 | 6          | 1053                          | 451  | 67         | 806  | 710                                     | 304  | 45         | 544  |
| 10       | +              | 0              | 0              | 34                | 0,72 | 6          | 1023                          | 527  | 65         | 784  | 690                                     | 356  | 44         | 529  |
| 11       | 0              | -              | 0              | 32                | 0,7  | 6          | 1054                          | 496  | 67         | 785  | 711                                     | 335  | 45         | 530  |
| 12       | 0              | +              | 0              | 32                | 0,74 | 6          | 1023                          | 481  | 65         | 805  | 690                                     | 325  | 44         | 543  |
| 13       | 0              | 0              | -              | 32                | 0,72 | 2          | 1074                          | 505  | 22         | 789  | 719                                     | 338  | 15         | 528  |
| 14       | 0              | 0              | +              | 32                | 0,72 | 10         | 1002                          | 472  | 111        | 802  | 682                                     | 321  | 76         | 546  |
| 15       | 0              | 0              | 0              | 32                | 0,72 | 6          | 1038                          | 489  | 66         | 795  | 701                                     | 330  | 45         | 537  |

В результате реализации экспериментального плана, полученные образцы кремнепоро подвергали испытаниям (в основном по стандартным методикам) и определяли среднюю плотность, прочность на сжатие в сухом и водонасыщенном состоянии, водопоглощение, коэффициент размягчения, общую и дифференциальную пористость, коэффициент вспучивания, коэффициент конструктивного качества, коэффициент теплопроводности и

истинные расходы компонентов сырьевой смеси, учитывающие коэффициент вспучивания.

Для определения теплопроводности и дифференциальной пористости из полученного кремнепора выпилены для каждого состава по 2 образца-кубика с ребром 4 см и один образец размером 4×4×1 см.

Характер пористости кремнепора исследовали в лаборатории кафедры ПАТСМ с помощью лазерного порометра в интервале от 0 до 2 мм с интервалом 0,2 мм. Экспериментальные данные по дифференциальной пористости кремнепора приведены в таблице 3.

Таблица 3.

Дифференциальная пористость кремнепора

| №№<br>опыто<br>в | Процентное содержание пор по их диаметрам, мм |         |         |         |         |         |         |         |         |         | Суммарное<br>содержание<br>пор 0-0,6<br>мм, % | Суммарное<br>содержание<br>пор 0,6-2,0<br>мм, % |
|------------------|---|---------|---------|---------|---------|---------|---------|---------|---------|---------|---|---|
|                  | 0,0-0,2                                       | 0,2-0,4 | 0,4-0,6 | 0,6-0,8 | 0,8-1,0 | 1,0-1,2 | 1,2-1,4 | 1,4-1,6 | 1,6-1,8 | 1,8-2,0 |   |   |
| 1                | 52,7  | 25,3    | 10,2    | 5,7     | 2,4     | 1,2     | 1,2     | 0,4     | 0,8     | 0,0     | 88,2  | 11,8  |
| 2                | 30,4  | 20,9    | 10,5    | 10,5    | 5,8     | 4,2     | 4,7     | 3,1     | 5,2     | 4,7     | 61,8  | 38,2  |
| 3                | 51,9  | 22,7    | 9,2     | 5,4     | 3,8     | 0,5     | 1,1     | 1,6     | 0,5     | 3,2     | 83,8  | 16,2  |
| 4                | 35,2  | 18,7    | 11,4    | 6,8     | 11,4    | 4,6     | 5,0     | 1,8     | 3,2     | 1,8     | 65,3  | 34,7  |
| 5                | 29,3  | 21,4    | 9,8     | 10,7    | 10,2    | 7,4     | 3,7     | 1,4     | 3,3     | 2,8     | 60,5  | 39,5  |
| 6                | 19,7  | 26,0    | 13,9    | 8,7     | 8,2     | 4,8     | 6,3     | 2,9     | 4,3     | 5,3     | 59,6  | 40,4  |
| 7                | 26,2  | 25,0    | 13,4    | 9,9     | 7,0     | 5,2     | 2,9     | 5,8     | 1,2     | 3,5     | 64,5  | 35,5  |
| 8                | 26,4  | 23,1    | 13,5    | 9,6     | 6,7     | 4,8     | 4,8     | 4,3     | 1,0     | 5,8     | 63,0  | 37,0  |
| 9                | 25,8  | 23,7    | 20,7    | 8,6     | 4,0     | 7,6     | 2,5     | 3,0     | 3,0     | 1,0     | 70,2  | 29,8  |
| 10               | 23,3  | 18,1    | 14,3    | 11,4    | 11,9    | 5,2     | 5,7     | 2,9     | 3,8     | 3,3     | 55,7  | 44,3  |
| 11               | 31,6  | 20,9    | 14,1    | 6,3     | 10,2    | 6,3     | 3,9     | 1,0     | 2,9     | 2,9     | 66,5  | 33,5  |
| 12               | 22,0  | 21,0    | 20,5    | 6,8     | 7,8     | 3,4     | 5,4     | 6,3     | 2,9     | 3,9     | 63,4  | 36,6  |
| 13               | 31,6  | 25,8    | 12,6    | 4,7     | 6,8     | 5,3     | 2,1     | 4,2     | 4,7     | 2,1     | 70,0  | 30,0  |
| 14               | 31,6  | 26,3    | 13,9    | 6,7     | 5,3     | 2,4     | 5,7     | 3,8     | 2,4     | 1,9     | 71,8  | 28,2  |
| 15               | 27,9  | 23,1    | 12,0    | 12,0    | 7,7     | 4,8     | 2,9     | 3,8     | 4,3     | 1,4     | 63,0  | 37,0  |
| Средн<br>ее      | 31,0  | 22,8    | 13,3    | 8,3     | 7,3     | 4,5     | 3,9     | 3,1     | 2,9     | 2,9     | 67,1  | 32,9  |

Из данных табл. 3 следует, что по характеру пористости кремнепор состоит преимущественно из пор малых размеров, которые в ячеистых

бетонах являются более предпочтительными, так как обеспечивают более высокие строительно-технические показатели свойств.

Полученные параллельные результаты испытаний усредняли и обрабатывали на ЭВМ по специально разработанным программам, в результате чего строили математические модели исследуемых свойств. Матрица планирования эксперимента и исследуемые свойства кремнепорода приведены в таблицах 4.

Таблица 4.

Исследуемые свойства кремнепорода

| № опытов | Исследуемые свойства кремнепорода    |                                  |                                      |                         |                   |                                      |                     |                        |  |   |
|----------|--------------------------------------|----------------------------------|--------------------------------------|-------------------------|-------------------|--------------------------------------|---------------------|------------------------|--|---|
|          | Средняя плотность, кг/м <sup>3</sup> | Прочность в сухом состоянии, МПа | Прочность в водонасыщенном состоянии | Коэффициент размягчения | Водопоглощение, % | Коэффициент конструктивного качества | Общая пористость, % | Коэффициент впитывания | Коэффициент теплопроводности, Вт/(м·К) | Истинный расход NaOH, кг/м <sup>3</sup> |
| 1        | 506                                  | 2,2                              | 1,7                                  | 0,78                    | 9,3               | 86                                   | 77,7                | 2,1                    | 0,133                                  | 150                                     |
| 2        | 197                                  | 1,8                              | 1,5                                  | 0,85                    | 33,3              | 464                                  | 91,3                | 5,6                    | 0,115                                  | 66                                      |
| 3        | 506                                  | 2,4                              | 2,4                                  | 1,03                    | 11,0              | 94                                   | 77,7                | 2,0                    | 0,164                                  | 150                                     |
| 4        | 202                                  | 1,7                              | 1,6                                  | 0,98                    | 23,9              | 417                                  | 91,1                | 5,3                    | 0,106                                  | 68                                      |
| 5        | 564                                  | 2,6                              | 2,3                                  | 0,92                    | 7,0               | 82                                   | 76,3                | 1,9                    | 0,163                                  | 157                                     |
| 6        | 146                                  | 1,5                              | 1,2                                  | 0,84                    | 30,9              | 704                                  | 93,8                | 7,4                    | 0,111                                  | 46                                      |
| 7        | 507                                  | 2,4                              | 2,4                                  | 1,01                    | 8,7               | 93                                   | 78,7                | 2,0                    | 0,162                                  | 141                                     |
| 8        | 349                                  | 1,8                              | 1,9                                  | 1,06                    | 14,2              | 148                                  | 85,2                | 3,0                    | 0,131                                  | 111                                     |
| 9        | 536                                  | 2,6                              | 2,8                                  | 1,11                    | 16,5              | 90                                   | 77,0                | 2,0                    | 0,156                                  | 154                                     |
| 10       | 258                                  | 1,5                              | 1,4                                  | 0,93                    | 25,9              | 225                                  | 88,8                | 4,2                    | 0,124                                  | 84                                      |
| 11       | 457                                  | 2,2                              | 2,2                                  | 1,03                    | 9,8               | 105                                  | 80,3                | 2,4                    | 0,157                                  | 140                                     |
| 12       | 452                                  | 2,3                              | 2,1                                  | 0,93                    | 9,3               | 113                                  | 80,5                | 2,3                    | 0,130                                  | 139                                     |
| 13       | 404                                  | 2,6                              | 1,9                                  | 0,75                    | 11,9              | 159                                  | 82,2                | 2,6                    | 0,140                                  | 128                                     |
| 14       | 441                                  | 1,9                              | 2,0                                  | 1,04                    | 9,0               | 98                                   | 81,4                | 2,4                    | 0,155                                  | 131                                     |
| 15       | 447                                  | 2,6                              | 2,2                                  | 0,83                    | 8,7               | 130                                  | 80,7                | 2,4                    | 0,165                                  | 137                                     |

В результате анализа полученных показателей свойств было выявлено, что между средней плотностью, прочностью, коэффициентом теплопроводности, а также общей пористостью, водопоглощением и истинным содержанием NaOH существует достаточно тесная корреляция.

Так из 3-х рассматриваемых факторов наиболее существенное влияние на исследуемые свойства оказывает содержание каустической соды. С повышением содержания NaOH средняя плотность, прочность, коэффициент теплопроводности, коэффициент впитывания и истинное содержание каустической соды понижаются, а общая пористость и водопоглощение – повышаются.

По полученным результатам дифференциальной пористости для каждого размера пор строились математические модели. По математическим моделям

средней плотности и дифференциальной пористости по специально разработанной программе во всём диапазоне исследуемых свойств определены оптимальные рецептурно-технологические параметры приготовления кремнепора.

В качестве параметра оптимизации был принят минимальный стоимостной показатель состава кремнепора, который обеспечивается минимальным расходом наиболее дорогостоящих компонентов – каустической соды и добавки стабилизатора структуры.

1. В результате проведенных исследований определены рецептурно-технологические условия, обеспечивающие возможность получения кремнепора на основе трепела Первозвановского месторождения.

2. Определено минимальное 2-процентное содержание стабилизатора структуры, достаточное для синхронизированного протекания процессов вспучивания и твердения, в результате чего получен кремнепор мелкопористой структуры с низкой средней плотностью ( $146 \text{ кг/м}^3$ ) и равномерным характером распределения пор.

3. Повышение содержания гидроксида натрия в исходной сырьевой смеси приводит к снижению его истинного содержания во вспученном кремнепоре и с повышением коэффициента вспучивания истинное содержание NaOH во вспученном кремнепоре снижается.

4. Кремнепор характеризуется преимущественно закрытым характером пор, что обеспечивает низкое водопоглощение и относительно высокий коэффициент размягчения.

5. Водопоглощение кремнепора в два - три раза меньше, чем в известных ячеистых бетонах и в оптимальных составах с понижением средней плотности понижается.

6. При относительно низкой средней плотности и низком коэффициенте теплопроводности кремнепор с добавкой стабилизатора структуры может использоваться как эффективный теплоизоляционный материал.

8. Кремнепор не горюч, так как не содержит органических веществ, и поскольку в его составе преобладает кремнезёмистая составляющая в аморфной форме, то можно прогнозировать, что он обладает достаточно высокими огнеупорными свойствами. Это позволяет расширить прогнозируемую область его применения и рекомендовать к использованию не только в качестве ограждающих материалов, но и для эффективной изоляции тепловых агрегатов.